

TT 71 F, TD 71 F, DT 71 F

Elektrische Eigenschaften		Electrical properties			
Höchstzulässige Werte	Maximum rated values				
Periodische Vorwärts- und Rückwärts-Spitzenperrspannung	repetitive peak forward off-state and reverse voltages	$t_{vj} = -40^\circ\text{C} \dots t_{vj\ max}$		V_{DRM}, V_{RRM}	800, 1000 V 1100, 1200 V 1300, 1400 V
Vorwärts-Stoßspitzenspannung	non repetitive peak forward off-state voltage	$t_{vj} = -40^\circ\text{C} \dots t_{vj\ max}$		$V_{DSM} = V_{DRM}$	
Rückwärts-Stoßspitzenspannung	non repetitive peak reverse voltage	$t_{vj} = +25^\circ\text{C} \dots t_{vj\ max}$		$V_{RSM} = V_{RRM}$	+ 100 V
Durchlaßstrom-Grenzeffektivwert Dauergrenzstrom	RMS on-state current average on-state current	$t_C = 85^\circ\text{C}$ $t_C = 50^\circ\text{C}$		I_{TRMSM}	180 A
Stoßstrom-Grenzwert	surge current	$t_{vj} = 25^\circ\text{C}, t_p = 10\text{ ms}$ $t_{vj} = t_{vj\ max}, t_p = 10\text{ ms}$		I_{TAVM}	71 A
Grenzlastintegral	/i ² dt-value	$t_{vj} = 25^\circ\text{C}, t_p = 10\text{ ms}$ $t_{vj} = t_{vj\ max}, t_p = 10\text{ ms}$		I_{TSM}	115 A
Kritische Stromteilheit	critical rate of rise of on-state current	$v_D \leq 67\% V_{DRM}, f_0 = 50\text{ Hz}$ $i_{GM} = 0.6\text{ A}, di_G/dt = 0.6\text{ A}/\mu\text{s}$		$\int i^2 dt$	2400 A 2100 A
Kritische Spannungsteilheit	critical rate of rise of off-state voltage	$t_{vj} = t_{vj\ max}, V_D = 67\% V_{DRM}$ 6. Kennbuchstabe/6th letter B	(di/dt) _{cr}	28800 A ² s 22000 A ² s	160 A/ μs
		6. Kennbuchstabe/6th letter C	(dv/dt) _{cr}	50 50 V/ μs	
		6. Kennbuchstabe/6th letter L		500 500 V/ μs	
		6. Kennbuchstabe/6th letter M		500 50 V/ μs	
				1000 500 V/ μs	

Charakteristische Werte	Characteristic values				
Durchlaßspannung	on-state voltage	$t_{vj} = t_{vj\ max}, i_T = 350\text{ A}$	v_T	max.	2,6 V
Schleusenspannung	threshold voltage	$t_{vj} = t_{vj\ max}$	$V_{T(TO)}$		1,3 V
Ersatzwiderstand	slope resistance	$t_{vj} = t_{vj\ max}$	r_T		3,1 m Ω
Zündstrom	gate trigger current	$t_{vj} = 25^\circ\text{C}, v_D = 6\text{ V}$	I_{GT}	max.	150 mA
Zündspannung	gate trigger voltage	$t_{vj} = 25^\circ\text{C}, v_D = 6\text{ V}$	V_{GT}	max.	2 V
Nicht zündender Steuerstrom	gate non trigger current	$t_{vj} = t_{vj\ max}, v_D = 6\text{ V}$	I_{GD}	max.	10 mA
Nicht zündende Steuerspannung	gate non trigger voltage	$t_{vj} = t_{vj\ max}, v_D = 0,5 V_{DRM}$	V_{GD}	max.	0,25 V
Haltestrom	holding current	$t_{vj} = 25^\circ\text{C}, v_D = 6\text{ V}, R_A = 10\ \Omega$	I_H	max.	250 mA
Einraststrom	latching current	$t_{vj} = 25^\circ\text{C}, v_D = 6\text{ V}, R_{GK} \geq 20\ \Omega$ $i_{GM} = 0.6\text{ A}, di_G/dt = 0.6\text{ A}/\mu\text{s}, t_g = 10\ \mu\text{s}$	I_L	max.	1 A
Vorwärts- und Rückwärts-Sperrstrom	forward off-state and reverse currents	$t_{vj} = t_{vj\ max}, V_D = V_{DRM}, V_R = V_{RRM}$	i_D, i_R	max.	30 mA
Zündverzug	gate controlled delay time	$t_{vj} = 25^\circ\text{C}, i_{GM} = 0.6\text{ A}, di_G/dt = 0.6\text{ A}/\mu\text{s}$	t_{gd}	max.	1,4 μs
Freiwerdezeit	circuit commutated turn-off time	siehe Techn. Erl./see Techn. Inf.	t_q	S:	max. 18 μs
Isolations-Prüfspannung	insulation test voltage	RMS, f = 50 Hz, t = 1 min		E:	max. 20 μs
				F:	max. 25 μs
					3 kV

Thermische Eigenschaften	Thermal properties				
Innerer Wärmewiderstand	thermal resistance, junction to case	$\Theta = 180^\circ\text{el}, \sinus:$ pro Modul/per module DC: pro Modul/per module pro Zweig/per arm	R_{thJC}	max.	0,15 °C/W
Übergangs-Wärmewiderstand	thermal resistance, case to heatsink	pro Modul/per module pro Zweig/per arm	R_{thCK}	max.	0,03 °C/W
Höchstzul. Sperrsichttemperatur Betriebstemperatur Lagertemperatur	max. junction temperature operating temperature storage temperature	$t_{vj\ max}$ t_{co} t_{stg}		max.	0,06 °C/W
					125°C – 40°C ... +125°C – 40°C ... +130°C

Mechanische Eigenschaften	Mechanical properties			
Si-Elemente mit Druckkontakt Innere Isolation Anzugsdrehmomente mechanische Befestigung elektrische Anschlüsse Gewicht Kriechstrecke Schwingfestigkeit Maßbild	Si-pellets pressure contact internal insulation tightening torques mounting torque terminal connection torque weight creepage distance vibration resistance outline	Toleranz/tolerance $\pm 15\%$ Toleranz/tolerance + 5%/-10%	M1 M2 G	A1N 6 Nm 6 Nm typ. 430 g 14 mm 5 · 9,81 m/s ² 6

1) Werte nach DIN 41787 (ohne vorausgehende Kommutierung)/Values to DIN 41787 (without prior commutation)

2) Unmittelbar nach der Freiwerdezeit/Immediately after turn-off time

Daten der Dioden siehe unter DD 122 S bei $V_{RRM} \leq 800\text{ V}$ und DD 121 S bei $V_{RRM} \geq 1000\text{ V}$

For data of the diode refer to DD 122 S at $V_{RRM} \leq 800\text{ V}$ and DD 121 S at $V_{RRM} \geq 1000\text{ V}$

TT 71 F, TD 71 F, DT 71 F können auch mit gemeinsamer Anode oder gemeinsamer Kathode geliefert werden.

TT 71 F, TD 71 F, DT 71 F can also be supplied with common or common cathode.

Recognized by UNDERWRITERS LABORATORIES INC.

TT 71 F, TD 71 F, DT 71 F

Bild/Fig. 1, 2, 3
 Höchstzulässige Strombelastbarkeit in Abhängigkeit von der Halbschwingungsdauer für einen Zweig bei:
 sinustörmigem Stromverlauf,
 der angegebenen Gehäusetemperatur t_C ,
 Vorwärts-Sperrspannung $V_{DM} \leq 0,67 V_{DRM}$,
 Freiwerdezeit t_f gemäß 5. Kennbuchstaben,
 Spannungssteilheit dv_D/dt gemäß 6. Kennbuchstaben.

Ausschaltverlustleistung:

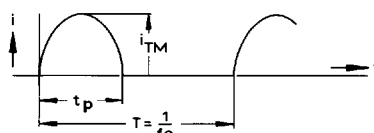
- berücksichtigt für den Betrieb bei $f_o = 50$ Hz ... 0,4 kHz für $dv_R/dt \leq 600$ V/ μ s und Anstieg auf $v_{RM} \leq 0,67 V_{DRM}$;
- nicht berücksichtigt für Betrieb bei $f_o \geq 1$ kHz. Diese Kurven gelten jedoch für den Betrieb mit antiparalleler Diode oder $dv_R/dt \leq 100$ V/ μ s und Anstieg auf $v_{RM} \leq 50$ V.

Maximum allowable current load versus halfwave duration per arm at:

sinusoidal current waveform,
 given case temperature t_C ,
 forward off-state voltage $V_{DM} \leq 0,67 V_{DRM}$,
 circuit commutated turn-off time t_f according to 5th code letter,
 rate of rise of voltage dv_D/dt according to 6th code letter.

Turn-off losses:

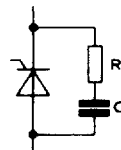
- taken into account for operation at $f_o = 50$ Hz to 0,4 kHz for $dv_R/dt \leq 600$ V/ μ s and rise up to $v_{RM} \leq 0,67 V_{DRM}$;
- not taken into account for operation at $f_o \geq 1$ kHz.
 But the curves are valid for operation with inverse paralleled diode or $dv_R/dt \leq 100$ V/ μ s and rise up to $v_{RM} \leq 50$ V.



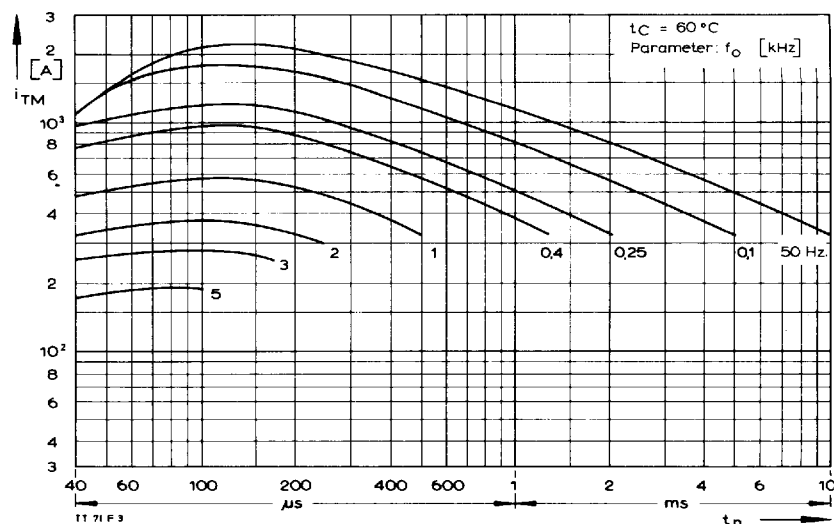
Parameter: Wiederholfrequenz f_o [kHz]
 Repetition rate f_o [kHz]

Steuergenerator/Pulse generator:

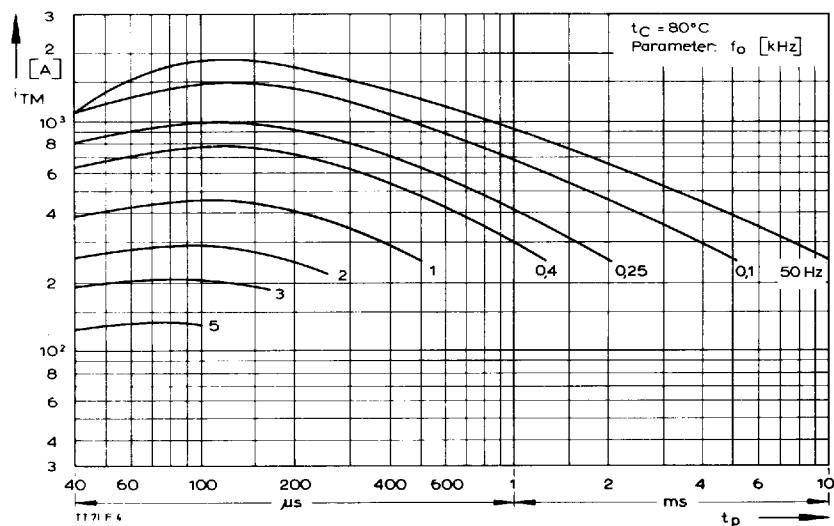
$i_G = 0,6$ A, $t_a = 1$ μ s



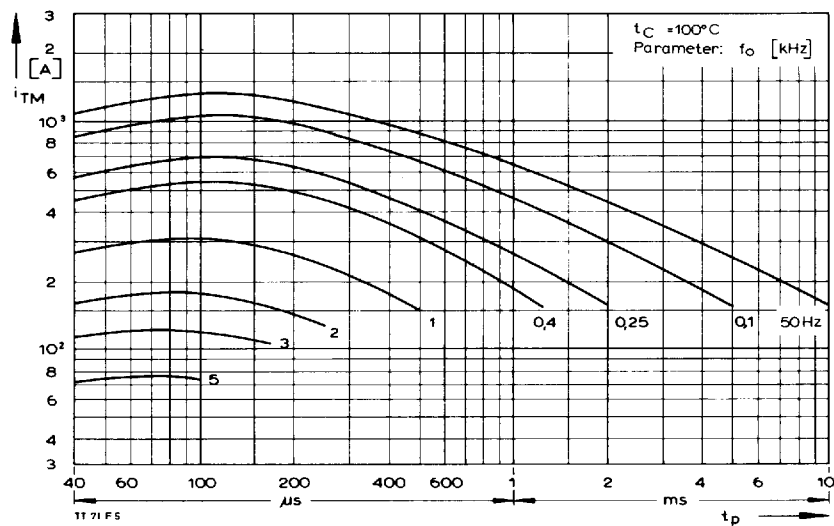
RC-Glied/RC network:
 $R [\Omega] \geq 0,02 \cdot V_{DM}$ [V]
 $C \leq 0,15 \mu\text{F}$



Bild/Fig. 1



Bild/Fig. 2



Bild/Fig. 3

TT 71 F, TD 71 F, DT 71 F

Bild/Fig. 4, 5, 6

Höchstzulässige Strombelastbarkeit in Abhängigkeit von der Stromsteilheit für einen Zweig bei:
 trapezförmigem Stromverlauf,
 der angegebenen Gehäusetemperatur t_c ,
 Vorwärts-Sperrspannung $v_{DM} \leq 0.67 V_{DRM}$,
 Freiwerdezeit t_s gemäß 5. Kennbuchstaben,
 Spannungssteilheit dv/dt gemäß 6. Kennbuchstaben.

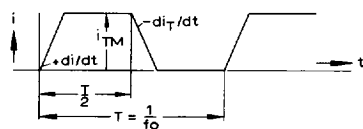
Ausschaltverlustleistung berücksichtigt; die Kurven gelten für:

- Betrieb mit antiparalleler Diode oder
 $dv_R/dt \leq 100 \text{ V}/\mu\text{s}$ bei Anstieg auf $v_{RM} \leq 50 \text{ V}$
- — $dv_R/dt \leq 600 \text{ V}/\mu\text{s}$ und Anstieg auf $v_{RM} = 0.67 V_{RRM}$.

Maximum allowable current load versus rate of rise of current per arm at:
 trapezoidal current waveform,
 given case temperature t_c ,
 forward off-state voltage $v_{DM} \leq 0.67 V_{DRM}$,
 circuit commutated turn-off time t_s according to 5th code letter,
 rate of rise of voltage dv/dt according to 6th code letter.

Turn-off losses taken into account; the curves apply for:

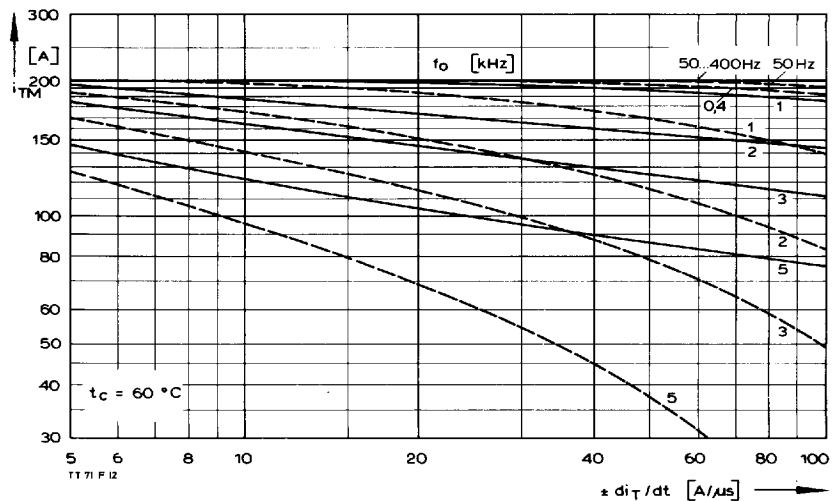
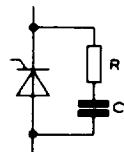
- Operation with inverse paralleled diode or $dv_R/dt \leq 100 \text{ V}/\mu\text{s}$ rising up to $v_{RM} \leq 50 \text{ V}$.
- — $dv_R/dt \leq 600 \text{ V}/\mu\text{s}$ rising up to $v_{RM} = 0.67 V_{RRM}$.



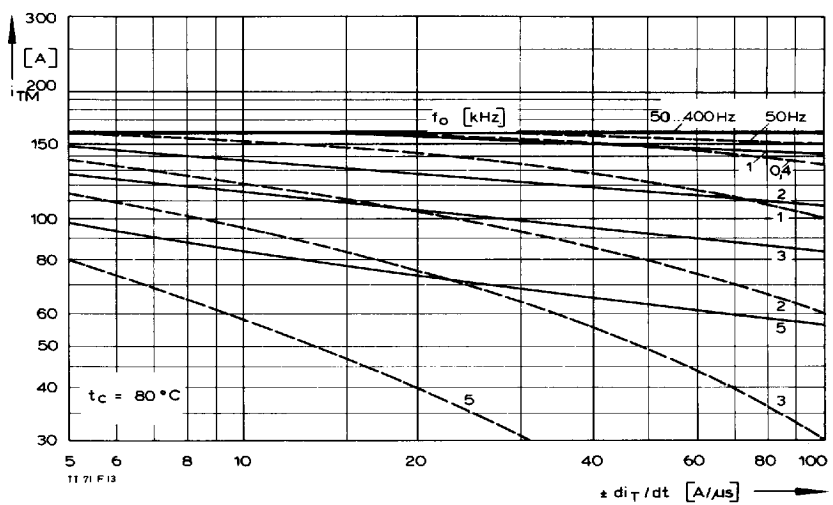
Parameter: Wiederholfrequenz f_0 [kHz]
 Repetition rate f_0 [kHz]

Steuergenerator/Pulse generator:
 $i_G = 0.6 \text{ A}$, $t_s = 1 \mu\text{s}$

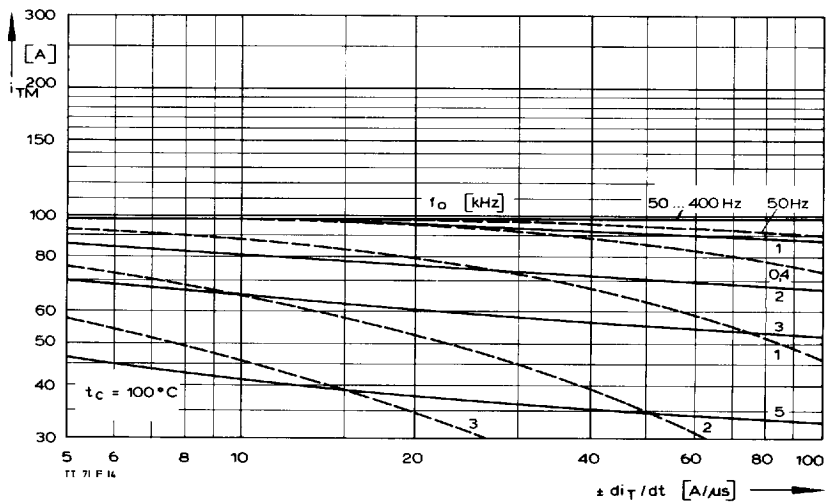
RC-Glied/RC network:
 $R [\Omega] \geq 0.02 \cdot v_{DM} [\text{V}]$
 $C \leq 0.22 \mu\text{F}$



Bild/Fig. 4



Bild/Fig. 5

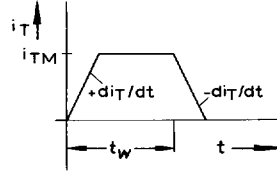


Bild/Fig. 6

TT 71 F, TD 71 F, DT 71 F

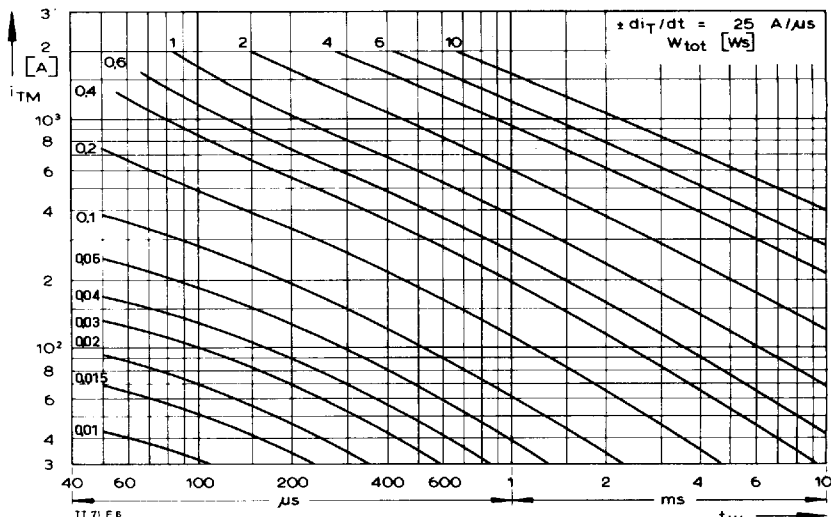
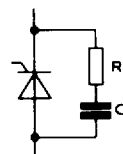
Bild/Fig. 7, 8, 9
 Diagramme zur Ermittlung der Gesamtenergie W_{tot} für einen trapezförmigen Durchlaß-Strompuls, für einen Zweig bei:
 der angegebenen Stromsteilheit di_T/dt ,
 Vorwärts-Sperrspannung $v_{\text{DM}} \leq 0,67 V_{\text{DRM}}$,
 Rückwärts-Sperrspannung $v_{\text{RM}} \leq 50 V$,
 Spannungssteilheit $dv_R/dt \leq 100 V/\mu s$.

Diagram for the determination of the total energy W_{tot} for a trapezoidal current pulse for one arm at:
 given rate of rise of on-state current di_T/dt ,
 forward off-state voltage $v_{\text{DM}} \leq 0.67 V_{\text{DRM}}$,
 maximum reverse voltage $v_{\text{RM}} \leq 50 V$,
 rate of rise of off-state voltage $dv_R/dt \leq 100 V/\mu s$.

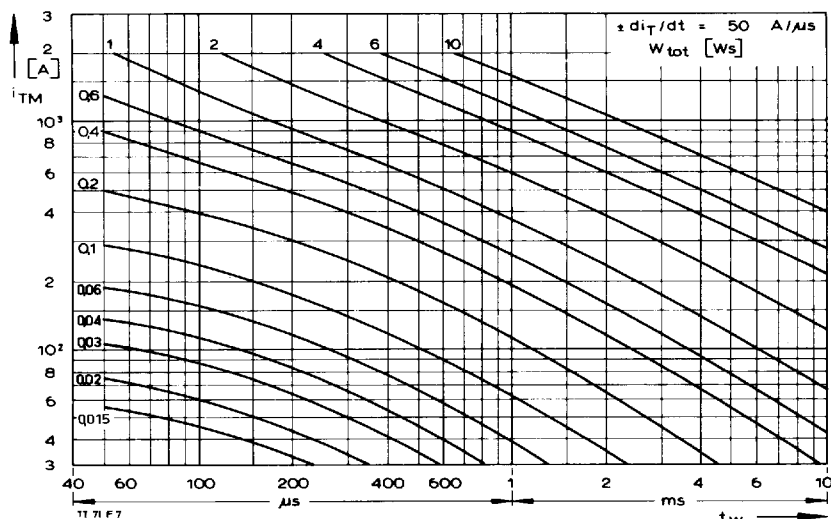


Steuergenerator/Pulse generator:
 $i_G = 0,6 A$, $t_a = 1 \mu s$

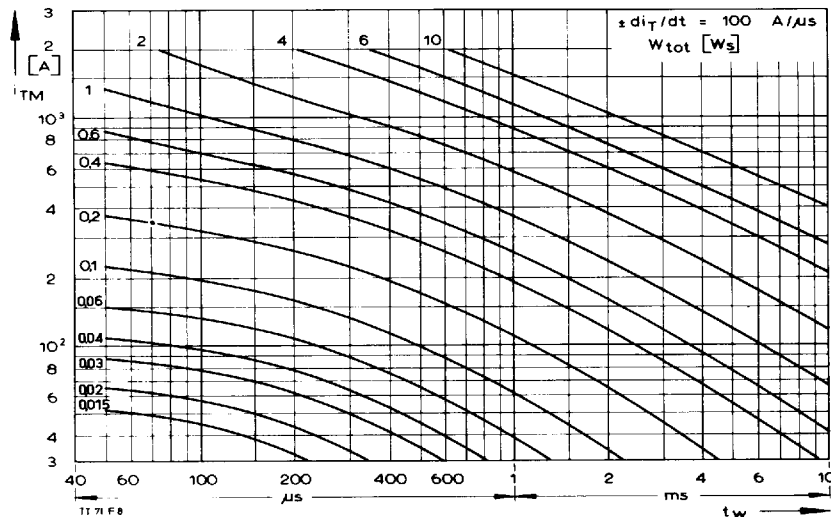
RC-Glied/RC network:
 $R [\Omega] \geq 0,02 \cdot v_{\text{DM}} [V]$
 $C \leq 0,22 \mu F$



Bild/Fig. 7



Bild/Fig. 8



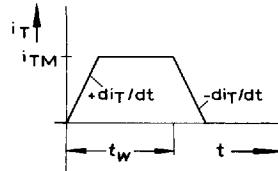
Bild/Fig. 9

TT 71 F, TD 71 F, DT 71 F

Bild/Fig. 10, 11, 12

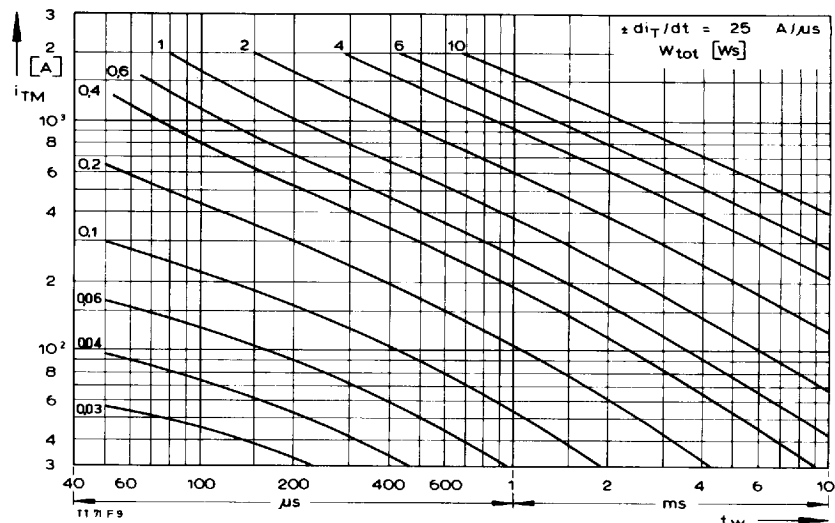
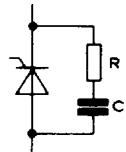
Diagramme zur Ermittlung der Gesamtenergie W_{tot} für einen trapezförmigen Durchlaß-Strompuls, für einen Zweig bei:
der angegebenen Stromsteilheit di_T/dt ,
Vorwärts-Speisspannung $V_{\text{DM}} \leq 0,67 V_{\text{DRM}}$,
Rückwärts-Speisspannung $V_{\text{RM}} \leq 0,67 V_{\text{RRM}}$,
Spannungssteilheit $dv_R/dt \leq 600 \text{ V}/\mu\text{s}$.

Diagram for the determination of the total energy W_{tot} for a trapezoidal current pulse for one arm at:
given rate of rise of on-state current di_T/dt ,
forward off-state voltage $V_{\text{DM}} \leq 0,67 V_{\text{DRM}}$,
maximum reverse voltage $V_{\text{RM}} \leq 0,67 V_{\text{RRM}}$,
rate of rise of off-state voltage $dv_R/dt \leq 600 \text{ V}/\mu\text{s}$.

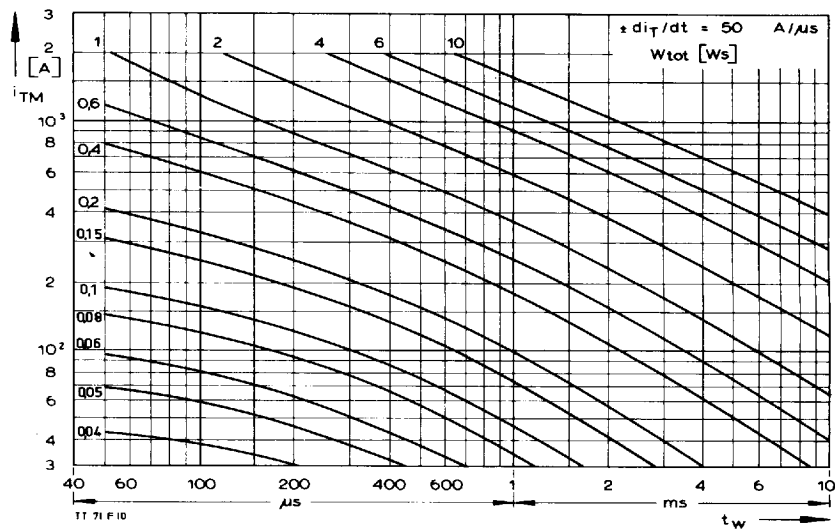


Steuergenerator/Pulse generator:
 $i_G = 0,6 \text{ A}$, $t_a = 1 \mu\text{s}$

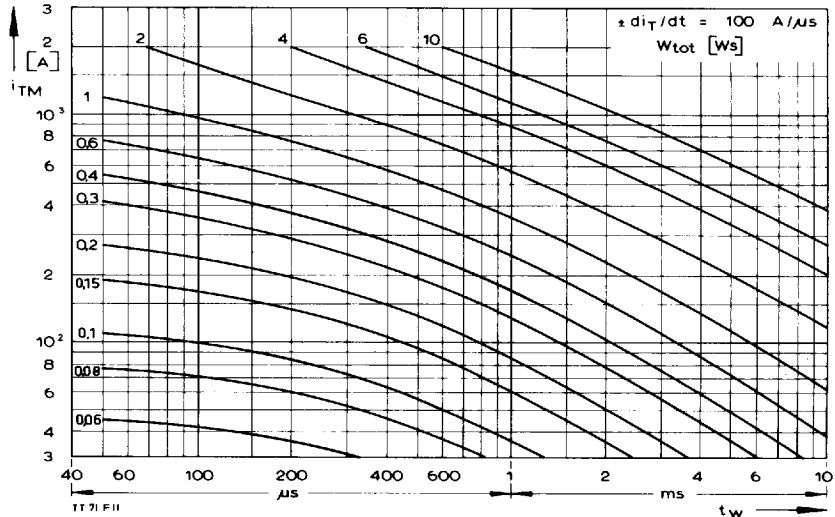
RC-Glied/RC network:
 $R [\Omega] \geq 0,02 \cdot V_{\text{DM}} [\text{V}]$
 $C \leq 0,22 \mu\text{F}$



Bild/Fig. 10



Bild/Fig. 11

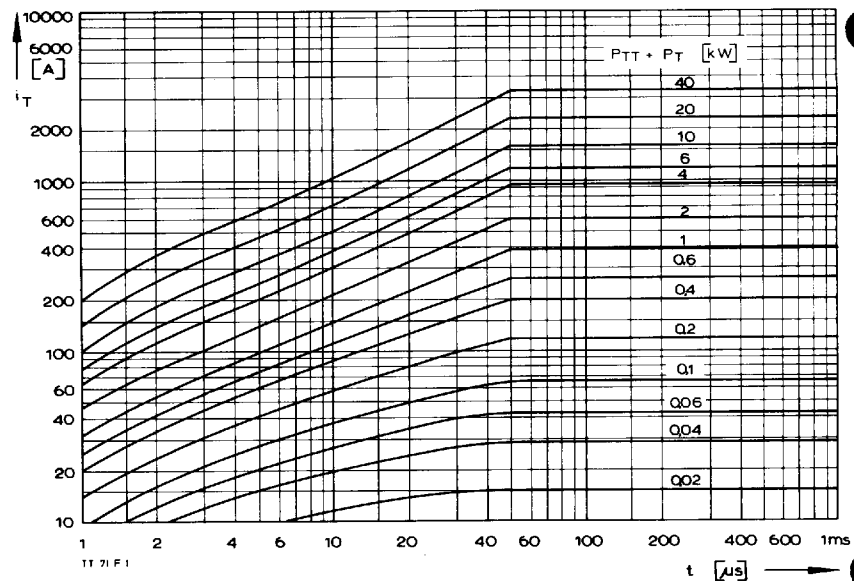


Bild/Fig. 12

TT 71 F, TD 71 F, DT 71 F

Bild/Fig. 13

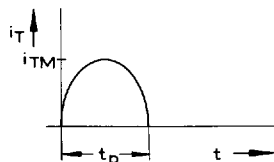
Diagramm zur Ermittlung der Summe aus Einschalt- und Durchlaßverlustleistung ($P_{TT} + P_T$) je Zweig.
Diagram for the determination of the sum of the turn-on and on-state power loss per arm ($P_{TT} + P_T$).



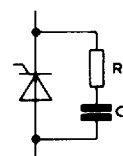
Bild/Fig. 14

Diagramm zur Ermittlung der Gesamtenergie W_{tot} für einen sinusförmigen Durchlaß-Strompuls, für einen Zweig.
Diagram for the determination of the total energy W_{tot} for a sinusoidal on-state current pulse for one arm.

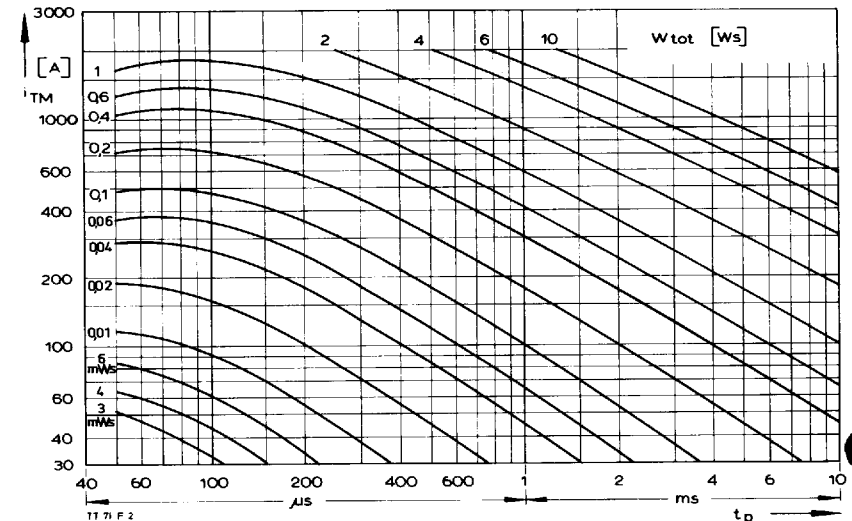
Lastkreis/load circuit:
 $V_{DM} \leq 0,67 V_{DRM}$,
 $V_{RM} \leq 50 V$,
 $dv_R/dt \leq 100 V/\mu s$



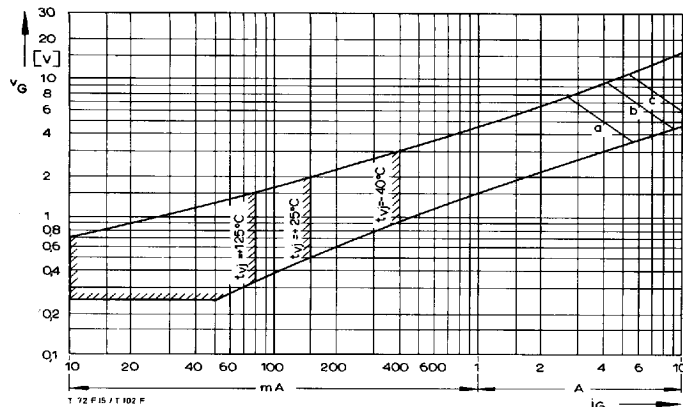
Steuergenerator/Pulse generator:
 $i_G = 0,6 A$, $t_a = 1 \mu s$



RC-Glied/RC network:
 $R [\Omega] \geq 0,02 \cdot V_{DM} [V]$,
 $C \leq 0,15 \mu F$

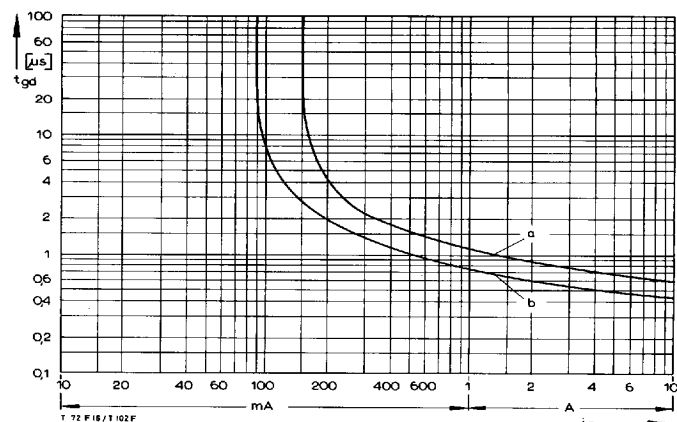


TT 71 F, TD 71 F, DT 71 F

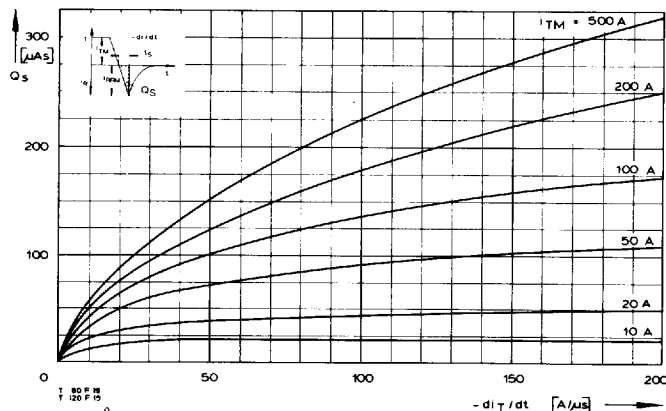


Bild/Fig. 15
Zündbereich und Spitzensteuerleistung bei $v_D = 6$ V.
Gate characteristic and peak gate power dissipation at $v_D = 6$ V.
Parameter:

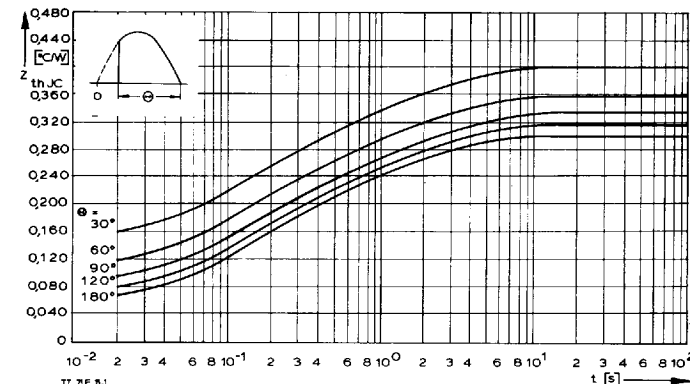
	a	b	c
Steuerimpulsdauer/Pulse duration t_g [ms]	10	1	0,5
Höchstzulässige Spitzensteuerleistung/ Maximum allowable peak gate power [W]	20	40	60



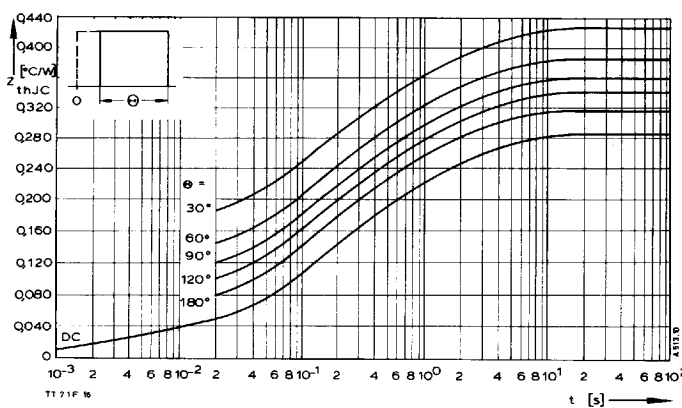
Bild/Fig. 16
Zündverzug/Gate controlled delay time t_{gd} ,
DIN 41787, $t_a = 1 \mu\text{s}$, $t_{vj} = 25^\circ\text{C}$.
a – äußerster Verlauf/limiting characteristic
b – typischer Verlauf/typical characteristic



Bild/Fig. 17
Typische Abhängigkeit der oberen Nachlaufladung Q_S von der abkommenden Stromsteilheit $-di_T/dt$ bei $t_{vj \max}$.
Typical relationship between the maximum lag charge Q_S and the rate of decay of on-state current $-di_T/dt$ at $t_{vj \max}$.



Bild/Fig. 18
Transienter innerer Wärmewiderstand je Zweig Z_{thJC} .
Transient thermal impedance per arm Z_{thJC} , junction to case.



Bild/Fig. 19
Transienter innerer Wärmewiderstand je Zweig Z_{thJC} .
Transient thermal impedance, junction to case, per arm Z_{thJC} .

Pos. n	1	2	3	4	5
R_{thn} [°C/W]	0,002	0,028	0,076	0,095	0,083
τ_n [s]	0,00031	0,00314	0,085	0,399	2,68

$$Z_{thJC} = \sum_{n=1}^{n_{\max}} R_{thn} (1 - e^{-t/\tau_n})$$

Transienter Wärmewiderstand Z_{thJC} pro Zweig für DC.
Transient thermal impedance Z_{thJC} per arm for DC.